

MAGNETDETEKTOR - STANDE  
Höchster Betriebssatz

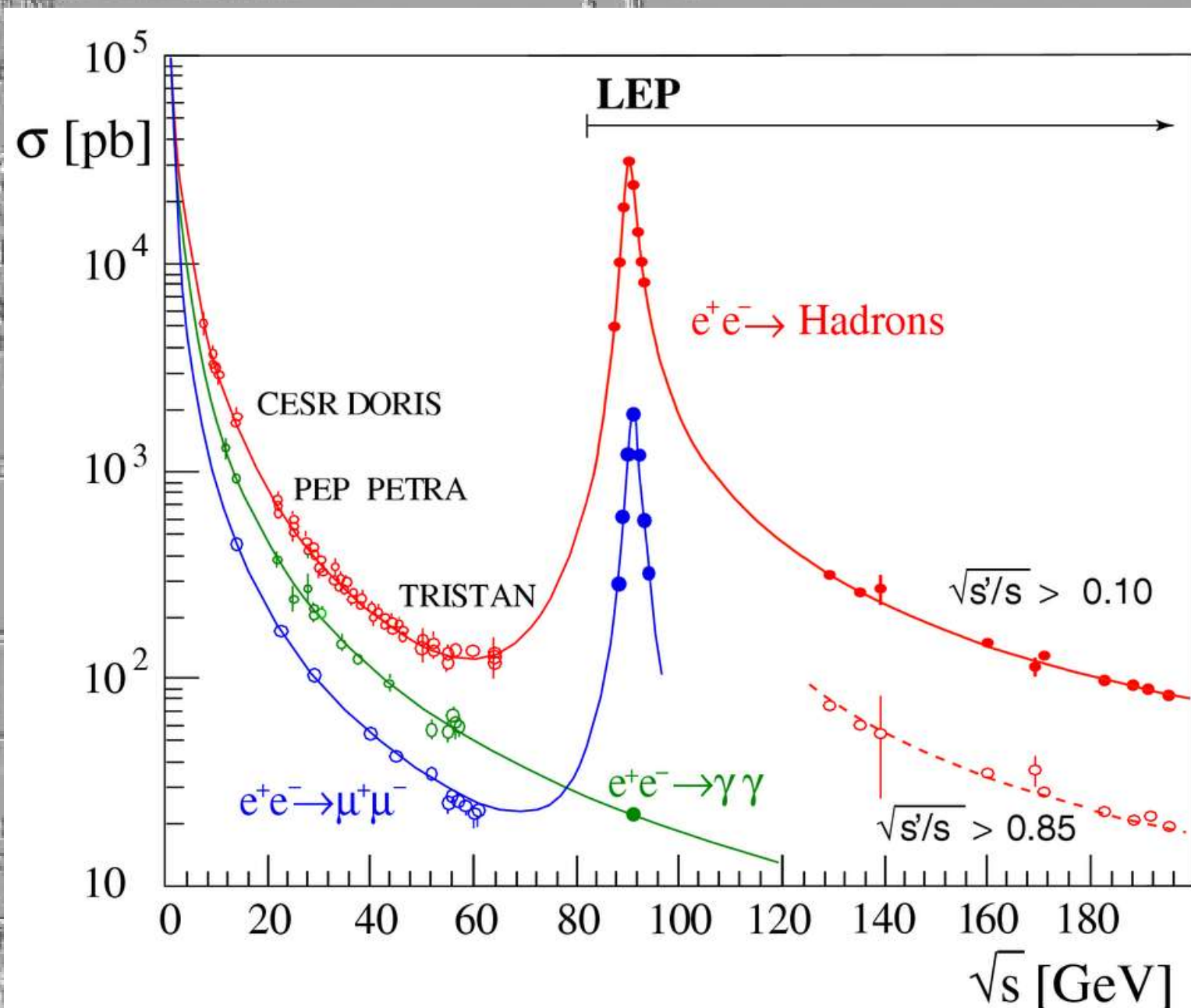
- 1 Strahlzähl器 STRAHL ZÄHLER
- 2 Endseitige Fliegzähler ENDSEITIGE FLIEGZÄHLER
- 3 Drucktank DRUCKTANK
- 4 Myon-Kammern HIGH GURKENS
- 5 Iot-Kammern IOT KURNELS
- 6 Flugzell-Zähler FLUGZELL-ZÄHLER
- 7 Scale OR
- 8 Zentrale Stiglaszähler ZENTRALE GLASZÄHLER
- 9 Magnetjoch MAGNETJOCHE
- 10 Myon-Filter MYON FILTER
- 11 Beweglicher Endstopper MOBILER ENDSTOPFER
- 12 Strahlrohr STRAHLRÖHR
- 13 Vierwärts-Detektor VIERWÄRTS-DETEKTOR
- 14 Mini-Beta-Detektor MINI-BETA-DETEKTOR
- 15 Fahrwerk WHEELS DEVICES

# Studies of the 4-jet rate and of moments of event shape observables using JADE data

Stefan Kluth  
Max-Planck-Institut für Physik  
Föhringer Ring 6  
80805 München, Germany  
skluth@mppmu.mpg.de

Gesamtgewicht 171000 kg - 1200 t  
Magnetfeld 1.5 T  
Partikelzahl 10<sup>13</sup> pro Jahr  
DESY Bonn abstracts 5-0498, 5-0502  
Lancaster, Manchester,  
Rutherford Lab., Jülich

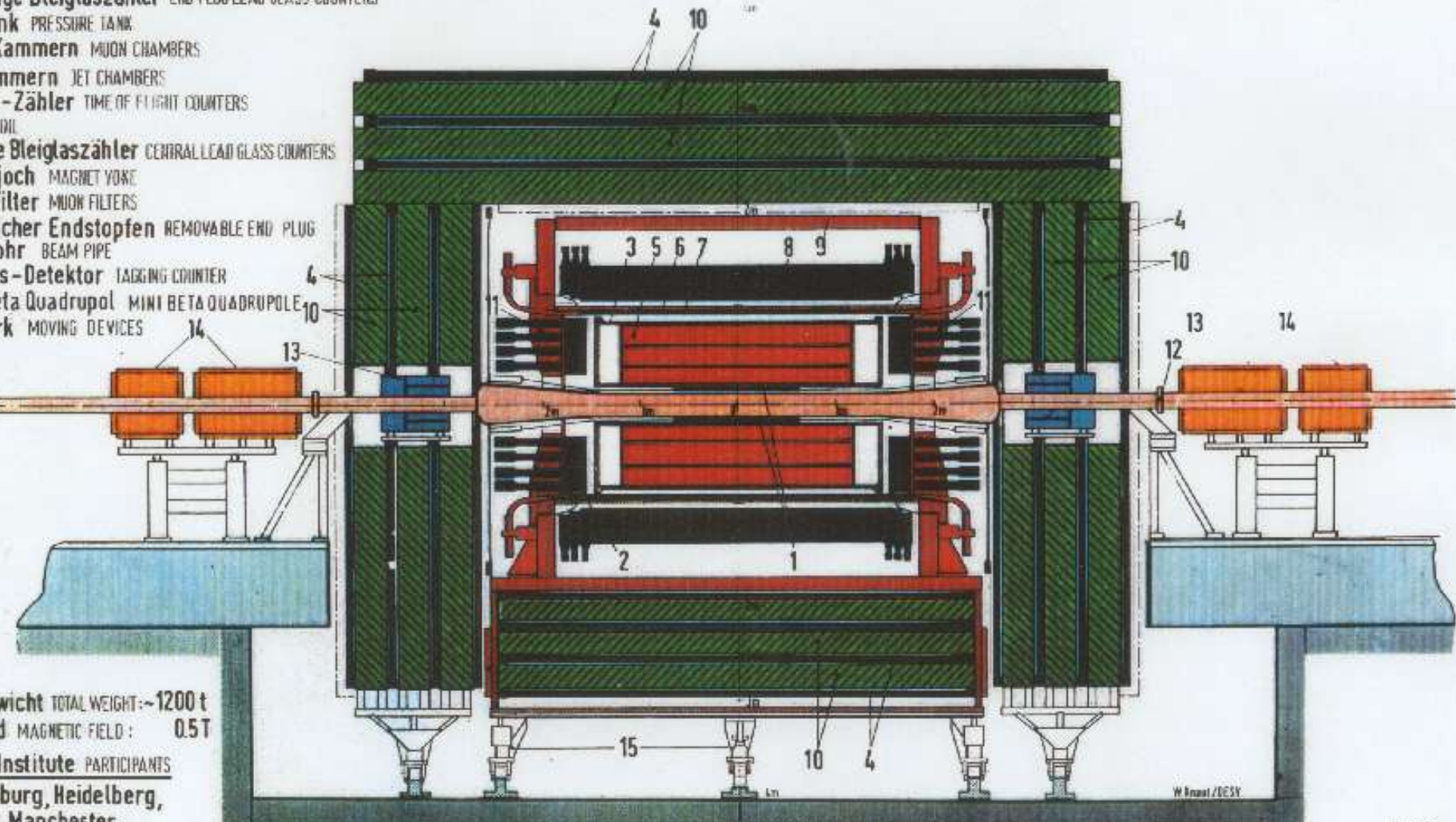
# $e^+e^-$ Annihilation in JADE



- 1 Strahlrohrzähler BEAM PIPE COUNTERS
- 2 Endseitige Bleiglaszähler END PLUG LEAD GLASS COUNTERS

**MAGNETDETEKTOR**  
**MAGNET DETECTOR** **JADE**

- 1 Strahlrohrzähler BEAM PIPE COUNTERS
- 2 Endseitige Bleiglaszähler END PLUG LEAD GLASS COUNTERS
- 3 Drucktank PRESSURE TANK
- 4 Myon - Kammern MUON CHAMBERS
- 5 Jet - Kammern JET CHAMBERS
- 6 Flugzeit - Zähler TIME OF FLIGHT COUNTERS
- 7 Spule COIL
- 8 Zentrale Bleiglaszähler CENTRAL LEAD GLASS COUNTERS
- 9 Magnetjoch MAGNET YOKE
- 10 Myon - Filter MUON FILTERS
- 11 Beweglicher Endstopfen REMOVABLE END PLUG
- 12 Strahlrohr BEAM PIPE
- 13 Vorwärts - Detektor TAGGING COUNTER
- 14 Mini - Beta Quadrupol MINI BETA QUADRUPOLE
- 15 Fahrwerk MOVING DEVICES



# The JADE Experiment

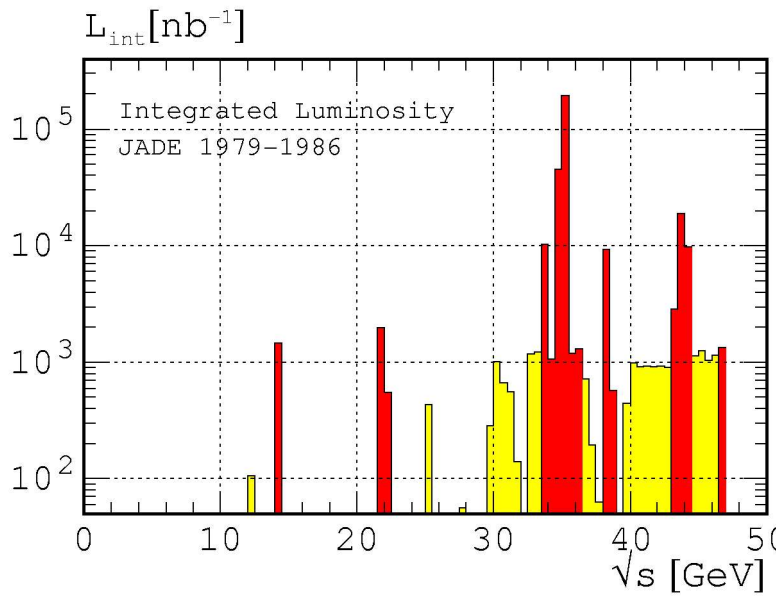
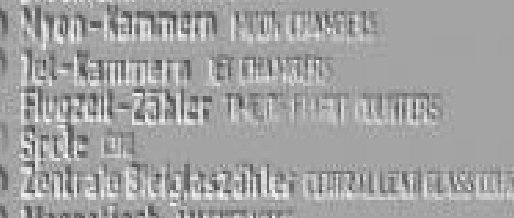
1979 to 1986 at PETRA/DESY

# MAGNETDETEKTOR JADE

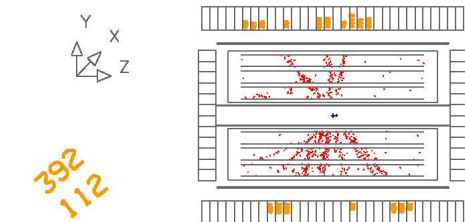
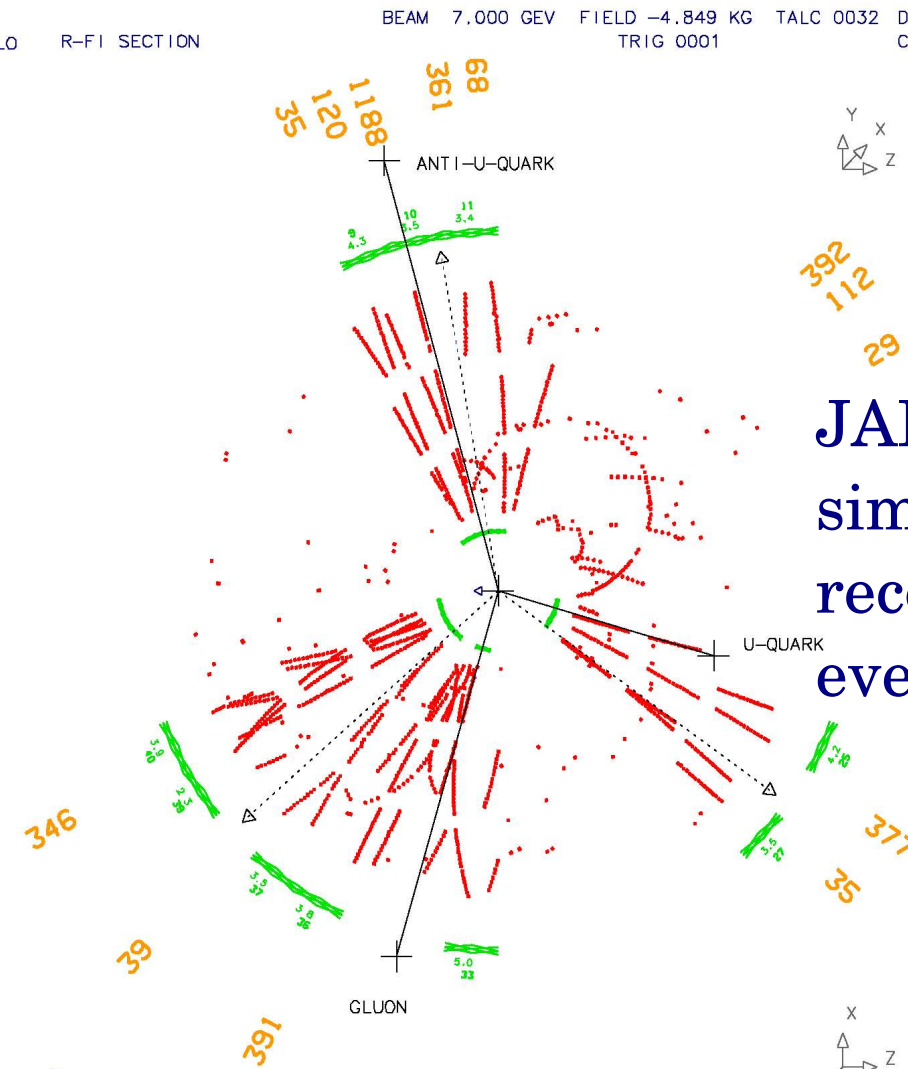
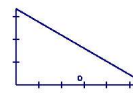
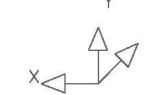
HIGHEST PRECISION

- 1 Strahlzähl器 STRAHLZÄHLER
- 2 Endseitige Slabzählzähler ENDSEITIGE SLABZÄHLZÄHLER
- 3 Drucktank DRUCKTANK
- 4 Nylon-Kammern HIGH CHAMBERS
- 5 Ion-Kammern IONCHAMBERS
- 6 Fluorid-Zählzähler THERM-PLATIN CHAMBERS
- 7 Scale OR
- 8 Zentrale Strahlzählzähler CENTRAL RAY COUNTING
- 9 Maximaler Intensitätszähler MAXIMALER INTENSITÄTSZÄHLER

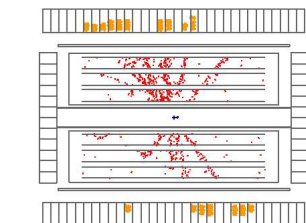
# JADE Data and Software



Gesamtbewertung TOTALE WEIGHT = 2001  
Magnetfeld 10000 Gauß = 151  
Petrilia Institute PISTONING  
DESY, Hamburg, Heidelberg,  
Lancaster, Manchester,  
Rutherford Lab., Jülich



JADE code:  
simulation  
reconstruction  
event display



- 1 Strahlzähler (straw detectors)
- 2 Endseitige Elektronenzyklotrons (end-side E-CCDs)
- 3 Drucktank (gas tank)
- 4 Myon-Kammern (muon chambers)
- 5 Iota-Kammern (Iota-chambers)

Distance in phase space  $\sim k_t$ :

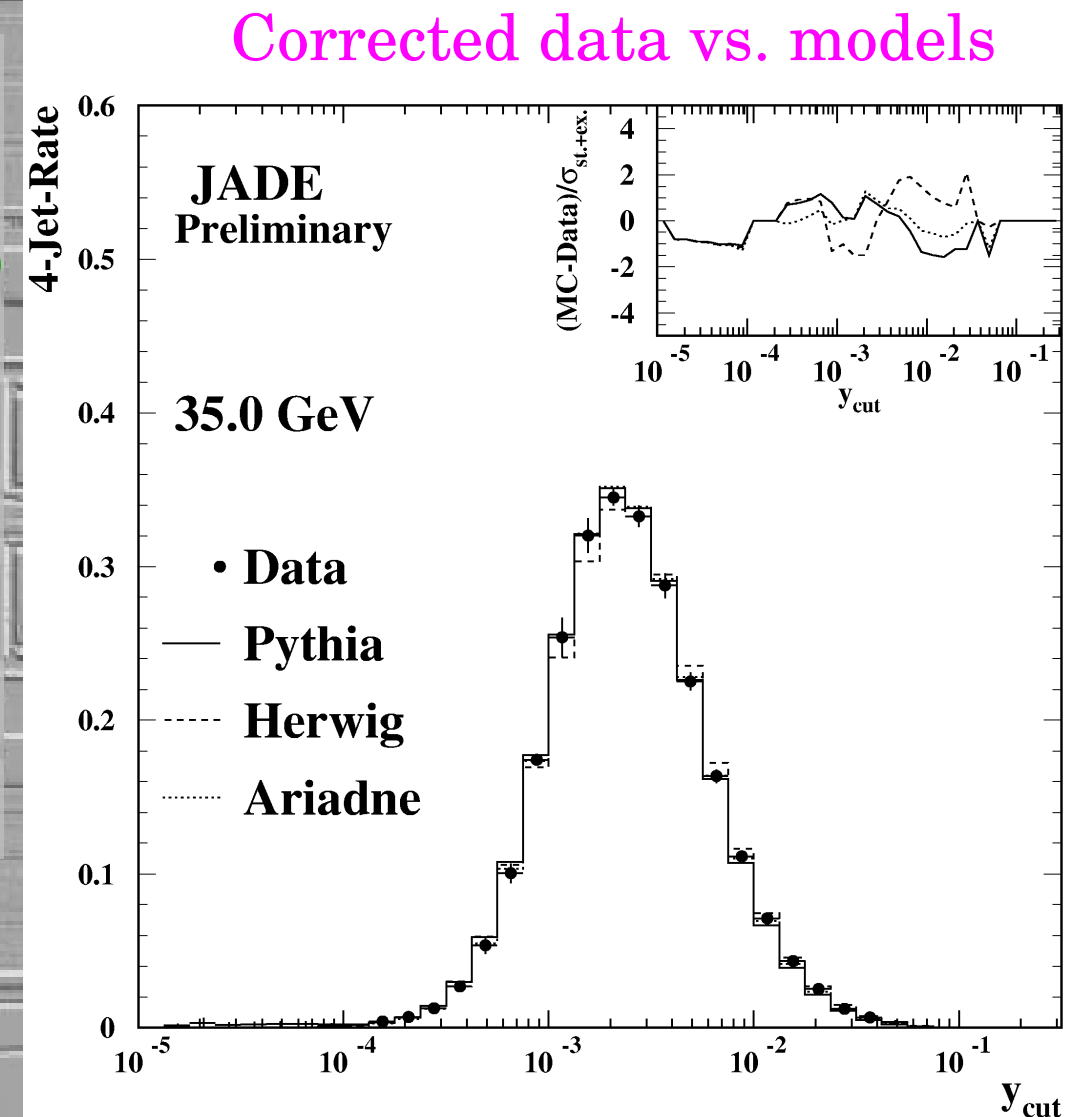
$$y_{ij} = 2 \min(E_i^2, E_j^2) / E_{vis}^2 (1 - \cos\theta_{ij})$$

combine particles with  
smallest  $y_{ij}$  by adding  
4-vectors

stop when  $y_{ij} > y_{cut}$ , count jets

Gesamtgeviert (NWEST-2001)  
Magnetfeld 1000 Gauß (15)  
Petrilia Lab (Italy)  
DESY, Hamburg, Heidelberg,  
Lancaster, Manchester,  
Rutherford Lab, Jyoti

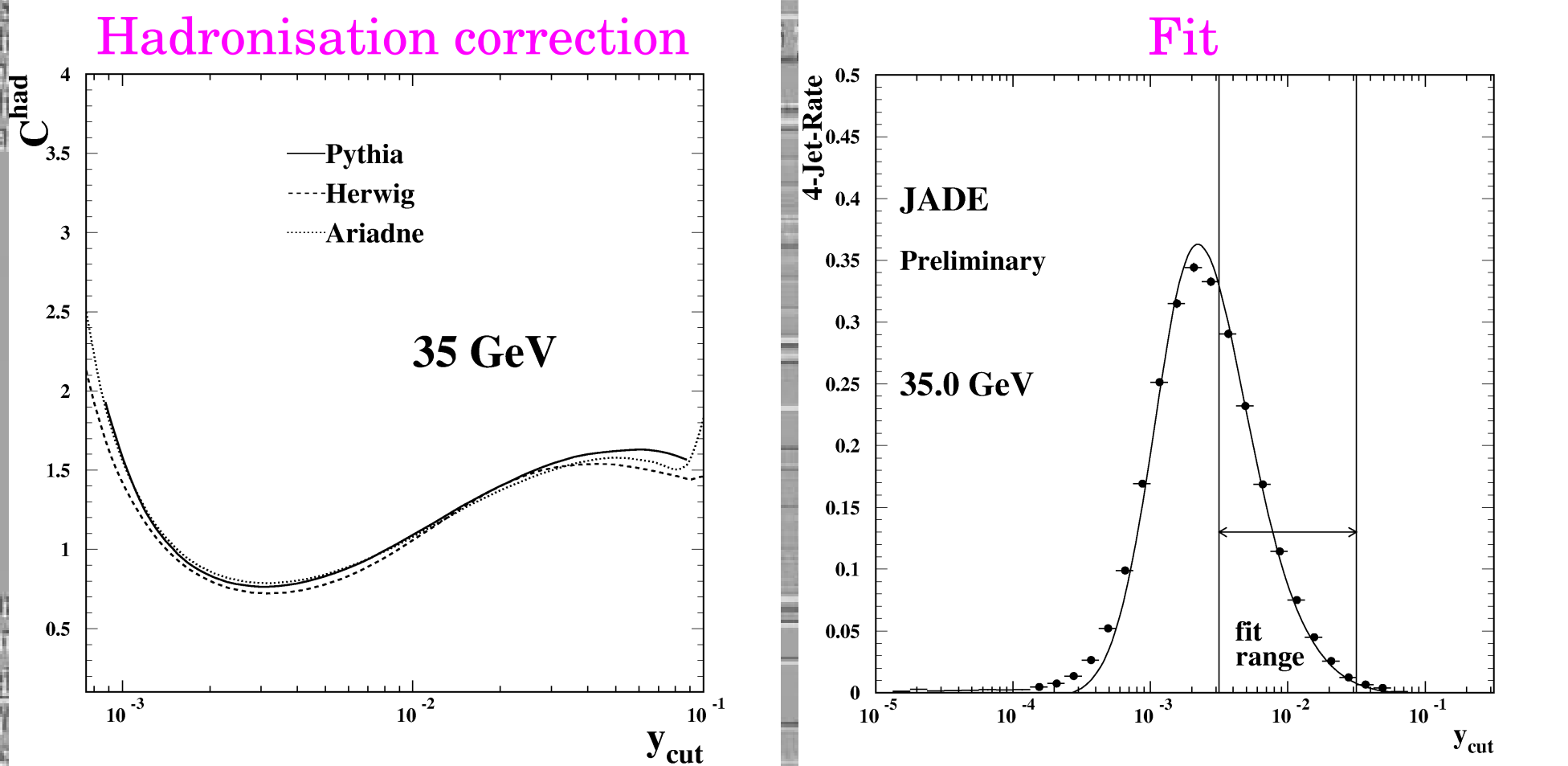
# 4-Jet Rate (Durham)



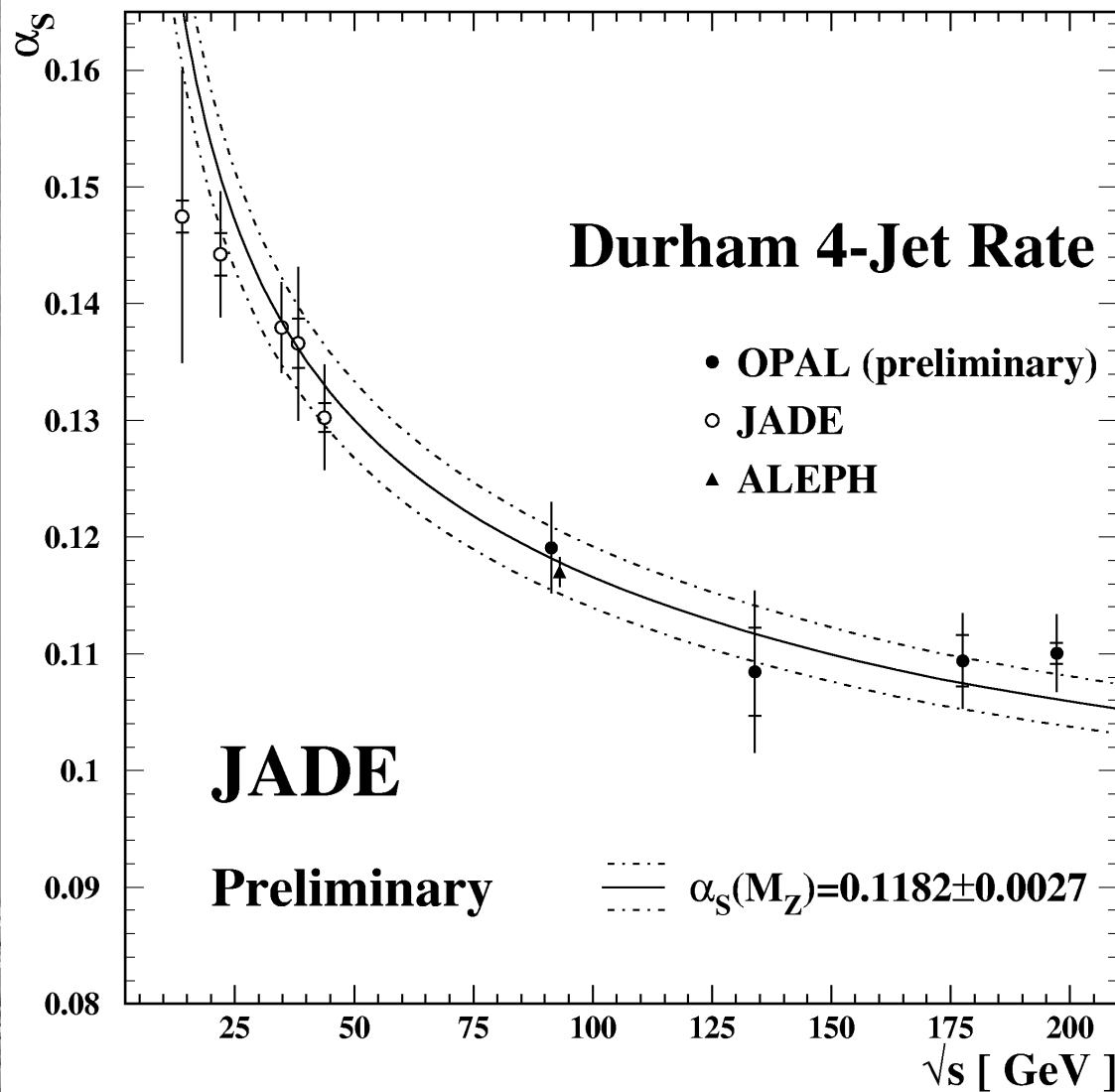
# 4-Jet Rate Fits

Theory is NLO ( $O(\alpha_s^2) + O(\alpha_s^3)$  radiative corrections) combined with resummed NLLA

$$\alpha_s(35 \text{ GeV}) = 0.141 \pm 0.001(\text{stat.}) \pm 0.002(\text{exp.}) \\ \pm 0.003(\text{had.}) \pm 0.001(\text{theo.})$$



# $\alpha_s$ from Four-Jet Rate: Summary



Combine results from  
22 to 43.8 GeV:

$\alpha_s(M_Z) = 0.1169$   
 $\pm 0.0004(\text{stat.})$   
 $\pm 0.0012(\text{exp.})$   
 $\pm 0.0021(\text{had.})$   
 $\pm 0.0007(\text{theo.})$

# Moments of Event Shapes

Observables:

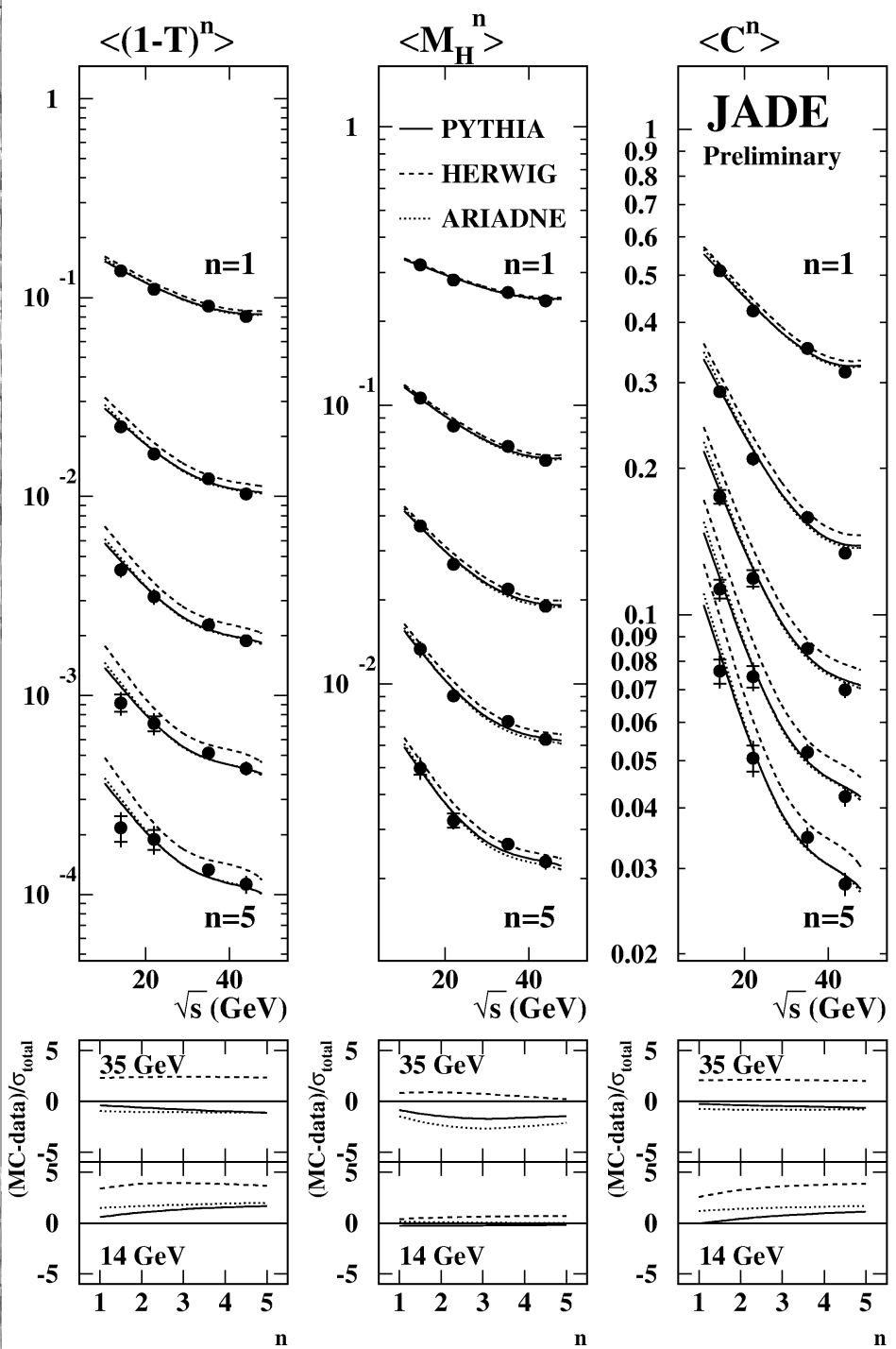
$1-T, M_H^n, C, B_T, B_W, y_{23}(D)$

$$\langle y^n \rangle = \int y^n 1/\sigma d\sigma/dy dy' \\ n = 1, \dots, 5$$

Theory is NLO QCD:

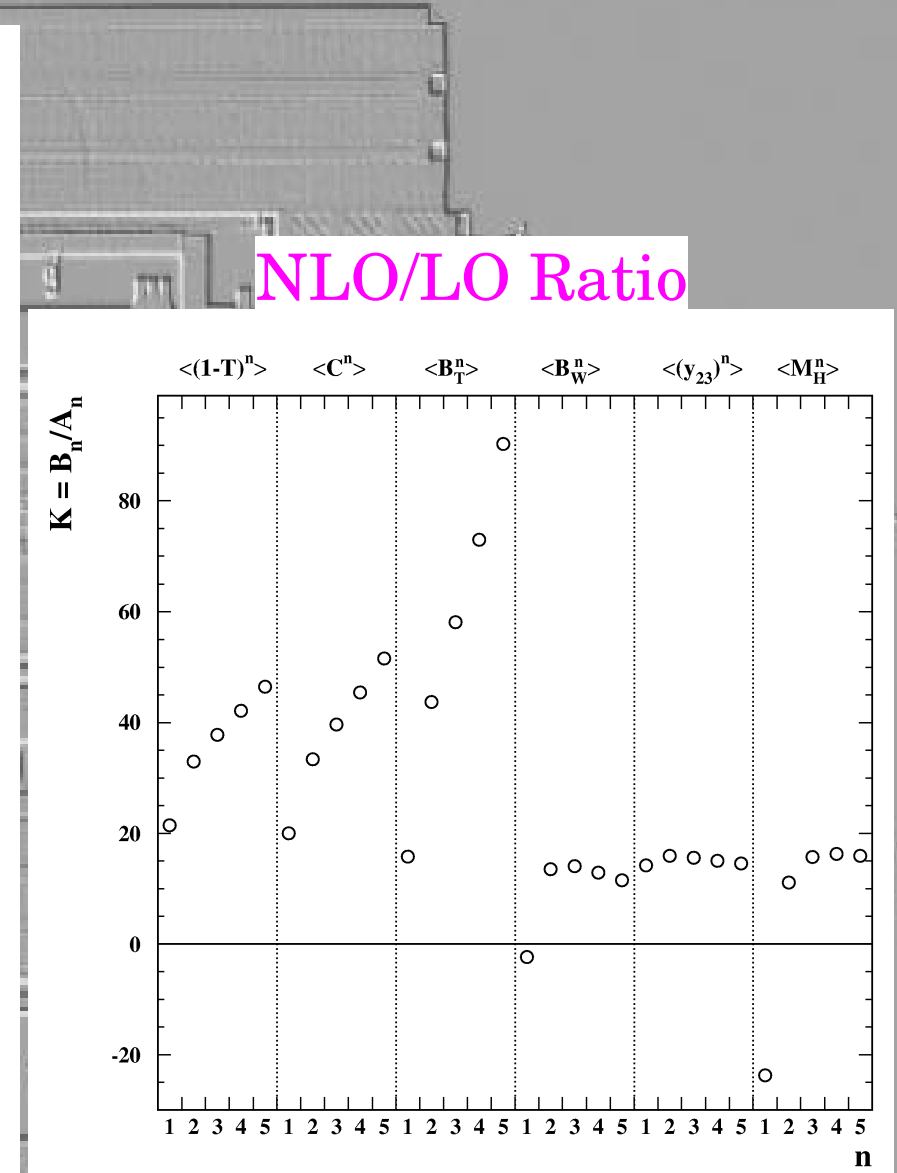
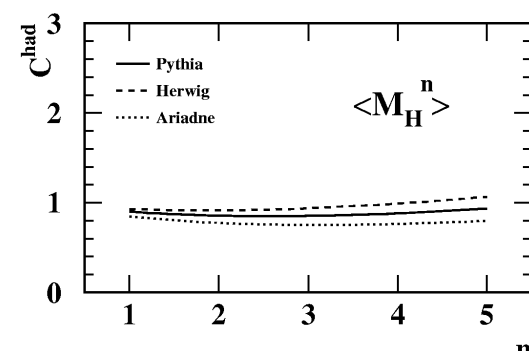
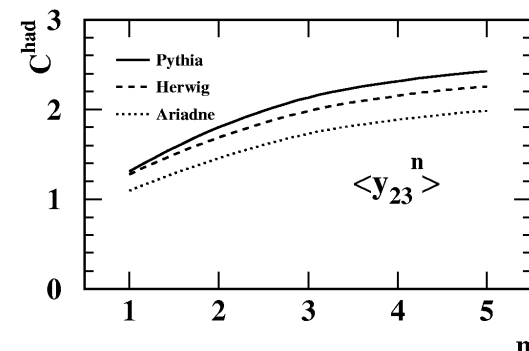
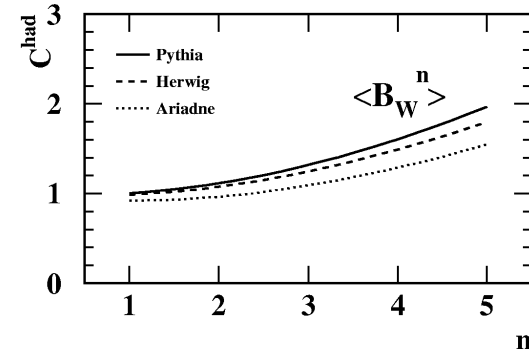
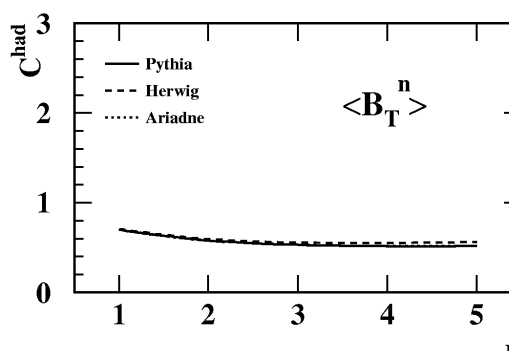
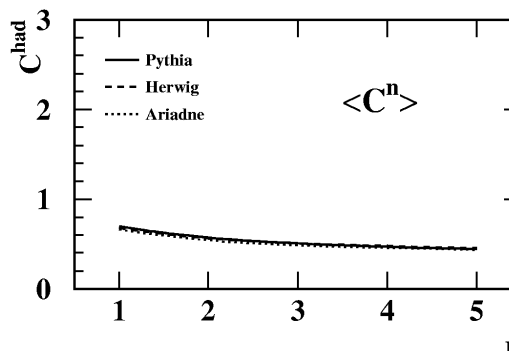
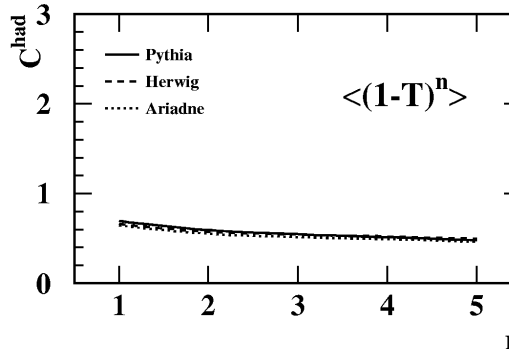
$$\langle y^n \rangle = A_n \alpha_S / (2\pi) + B_n (\alpha_S / (2\pi))^2$$

Complete phase space probed

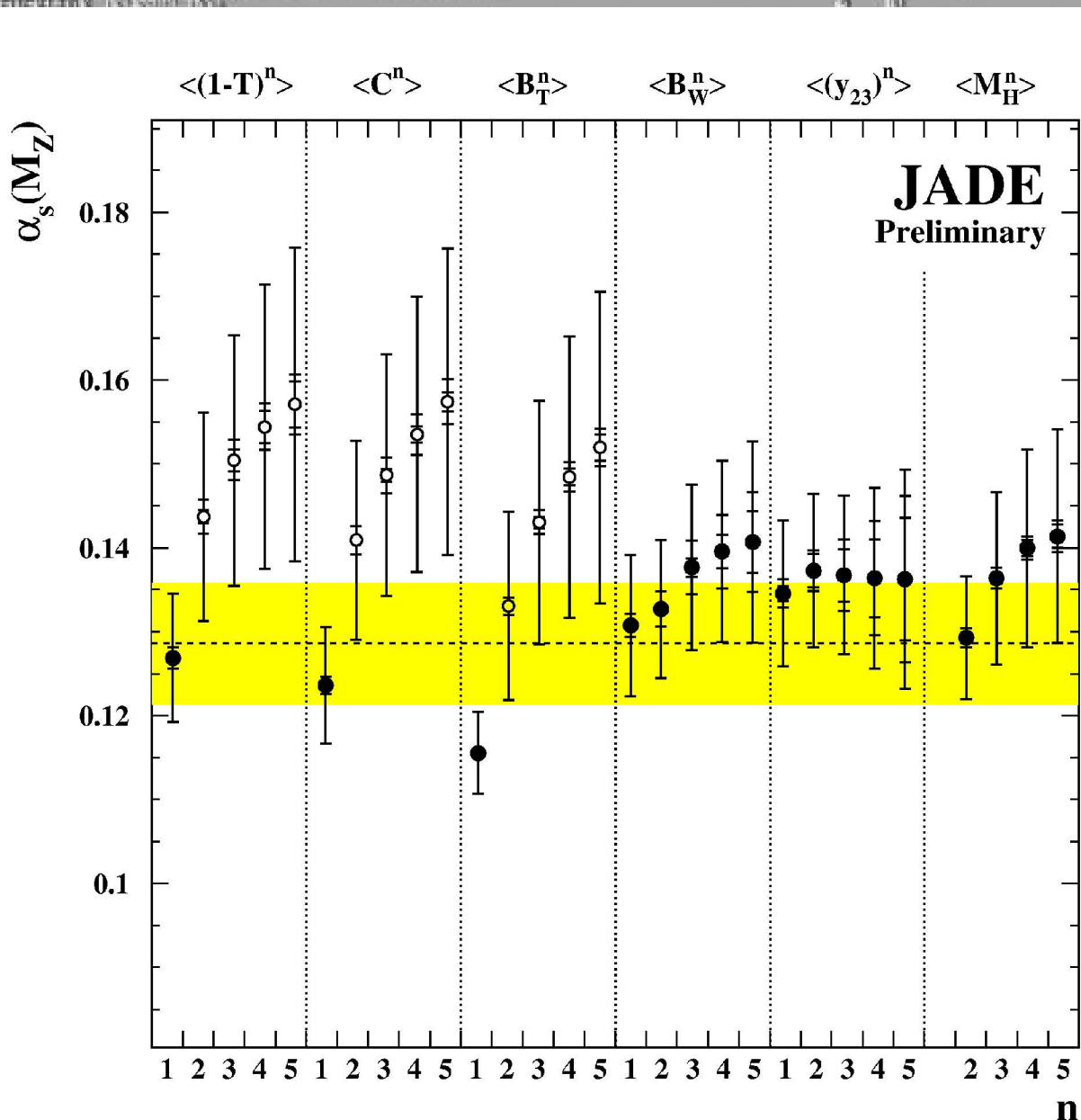


# Moments Hadronisation

## Hadronisation Correction 14 GeV



# Moments Results



Fit results not stable for  
1-T, C,  $B_T$  ( $n > 1$ )

Require  $K\alpha_s/(2\pi) < 0.5$  for  
final result

$$\begin{aligned} \alpha_s(M_Z) = & 0.1286 \\ & \pm 0.0007(\text{stat.}) \\ & \pm 0.0011(\text{exp.}) \\ & \pm 0.0022(\text{had.}) \\ & \pm 0.0068(\text{theo.}) \end{aligned}$$

# Summary

- JADE data still alive and useful
- Measure 4-jet rate with Durham scheme
  - NLO + NLLA QCD calculation
  - precision measurement of  $\alpha_s$  from JADE
  - $\alpha_s(M_Z) = 0.1169 \pm 0.0026$  (preliminary)
- Study 1st 5 moments of event shapes
  - Theory always samples complete phase space
  - Result for  $\alpha_s$  consistent for some but not all observables